

· 研究论文 ·

## 新型齐墩果酸糖苷化衍生物的合成及体外抗 HCT8 活性

邓代艳<sup>1</sup>, 王欢<sup>2</sup>, 张勇民<sup>3</sup>, 李军<sup>1</sup>, 董登祥<sup>1\*</sup>

(1. 贵州中医药大学 药学院, 贵州 贵阳 55002; 2. 贵州威门药业股份有限公司,  
贵州 贵阳 550018; 3. 法国索邦大学 法国国家科研中心, 巴黎 75005)

**摘要:** 为提高齐墩果酸的水溶性和稳定性, 以齐墩果酸苷元为起始原料, 对其 28-COOH 进行甲基化修饰后制得齐墩果酸-28-羧甲酯(**1**)。分别以 D-半乳糖、D-葡萄糖、D-氨基葡萄糖为起始原料, 通过对糖羟基的保护与去保护, 得到一系列的二糖、四糖片段。通过三氯乙酰亚胺酸酯途径和对甲苯硫基途径, 利用合成的糖片段对 **1** 的 3-位羟基进行糖化学结构修饰, 合成了 4 种新型的齐墩果酸糖苷化衍生物(**2~5**), 其结构经 <sup>1</sup>H NMR, <sup>13</sup>C NMR 和 MS(ESI) 表征。采用 MTT 法测试了 **2~5** 对高表达人结肠癌细胞(HCT8) 的体外抑制活性。结果表明: **2~5** 对 HCT8 有一定的抑制作用, 化合物 **5** 浓度为  $1 \times 10^{-3}$  mmol/L 时, 抑制率达到  $(98.96 \pm 0.10)\%$ 。

**关 键 词:** 齐墩果酸; 糖化学; 半乳糖; 结构修饰; 合成; 抗肿瘤活性

**中图分类号:** O621.3; O629.2      **文献标志码:** A      **DOI:** 10.15952/j.cnki.cjsc.1005-1511.19435

## Synthesis and *In Vitro* Anti-HCT 8 Activities of Novel Oleanolic Glycoside Derivatives.

DENG Dai-yan<sup>1</sup>, WANG Huan<sup>2</sup>, ZHANG Yong-min<sup>3</sup>,  
LI Jun<sup>1</sup>, DONG Deng-xiang<sup>1\*</sup>

(1. School of Pharmacy, Guizhou University of Traditional Chinese Medicine, Guiyang 550001, China;  
2. Guizhou Weimen Pharmaceutical Co., Ltd., Guiyang 550018, China;  
3. French National Scientific Research Center, University of Sorbonne, Paris 75005, France)

**Abstract:** In order to improve the water solubility and stability of oleic acid, oleanolic acid-28-carboxy methyl ester(**1**) was obtained by methylating oleanolic acid glycosides with oleanolic acid glycosides. At the same time, using D-galactose, D-glucose and D-glucosamine as starting materials, a series of disaccharide and tetranose fragments were obtained by protecting and deprotecting hydroxyl groups on sugar. Four new oleanolic acid glycosylation derivatives(**2~5**) were obtained by glycosylation of 3-hydroxyl groups of **1** by trichloroacetylidyne ester pathway and *p*-toluene thio-group pathway. The structures were characterized <sup>1</sup>H NMR, <sup>13</sup>C NMR and MS(ESI). High expression human colon cancer cell line(HCT8) was used to study the antitumor activities of **2~5** *in vitro* by MTT assay. The results showed that **2~5** had a certain inhibitory effect on HCT8, and the inhibition rate of compound **5** reached  $(98.96 \pm 0.10)\%$  at the highest concentration of  $1 \times 10^{-3}$  mol/L.

**Keywords:** oleanolic acid; glycol chemistry; galactose; modification; synthesis; antitumor activity

收稿日期: 2019-12-27; 修订日期: 2020-01-20

基金项目: 黔合院士工作站[(2014)4013]

第一作者简介: 邓代艳(1996-), 女, 汉族, 贵州贵阳人, 硕士研究生, 主要从事中药和民族药研究。E-mail: 1847212660@ qq.com

通信联系人: 董登祥, 副教授, E-mail: ddx331@163.com

齐墩果酸(Chart 1)又名庆四素,是齐墩果烷型中的五环三萜类化合物,一般为白色粉末,大多以糖苷或游离形式存在于植物中<sup>[1]</sup>,如青龙衣<sup>[2]</sup>、白花蛇舌草、山楂、丁香、大枣、女贞子、枇杷叶及夏枯草等。齐墩果酸具有多种药理活性,如保肝、抗肿瘤、降糖、抗 HIV、抗溃疡、增强免疫等<sup>[3~8]</sup>,目前,临幊上主要以齐墩果酸口服制剂治疗急慢性肝炎,尤其是急性黄疸型和慢性中毒型肝炎,或者抗癌辅助药物<sup>[9]</sup>。恶性肿瘤疾病患者口服齐墩果酸后,吞噬细胞百分比例显著上升,吞噬指数也有所提高,且体内主要器官无明显损伤。

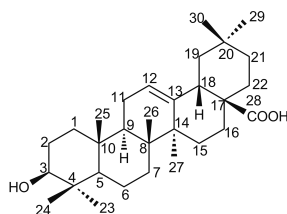


Chart 1

目前,齐墩果酸在临幊上运用的制剂品种单一,并且水溶性较差,导致生物利用度不理想。为改善齐墩果酸衍生物的活性和生物利用度,研究人员进行了多方面努力<sup>[10~11]</sup>。唐初等<sup>[12]</sup>将 C-28 位羧基转化成酯或酰胺,得到的齐墩果酸衍生物具有较强的抗肿瘤活性。王京等<sup>[13]</sup>以多种类型的基团作为链段,使羟基与硝酸酯类 NO 供体偶联,合成的齐墩果酸衍生物对人肺癌细胞 A549、人结肠癌细 HT-29 以及人肝癌细胞 SMMC-7721 的抑制活性均较强。Yoshikawa 等<sup>[14]</sup>研究了齐墩果酸连不同糖基对降糖活性的影响。发现不能在 C-28 位羧基形成糖苷键,而 C-3 位羟基形成糖苷键能增强活性。

天然产物通过糖基化反应形成的糖苷类化合物,可提高天然产物的稳定性、水溶性和生物利用度<sup>[15~17]</sup>。此外,糖链与三萜类化合物的生物活性关系密切,改变糖链可能对皂苷的活性产生较大影响<sup>[18~21]</sup>。王欢等<sup>[22]</sup>通过糖苷化对常春藤进行结构修饰后,显著提高了常春藤的水溶性,同时增强了其体外抗膀胱癌细胞的活性。

本文在此基础上,以齐墩果酸苷元为起始原料,对其 28-COOH 进行甲基化修饰后制得齐墩果酸-28-羧甲酯(1)。分别以 D-半乳糖、D-葡萄糖、D-氨基葡萄糖为起始原料,通过对糖羟基的保护与去保护,得到一系列的二糖、四糖片段。通过三

氯乙酰亚胺酸酯途径和对甲苯硫基途径,利用合成的糖片段对 1 的 3-位羟基进行糖化学结构修饰,合成了 4 种新型的齐墩果酸糖苷化衍生物(2~5, Scheme 1),其结构经 <sup>1</sup>H NMR, <sup>13</sup>C NMR 和 MS(ESI)表征。采用 MTT 法测试了 2~5 对高表达人结肠癌细胞(HCT8)的体外抑制活性。

## 1 实验部分

### 1.1 仪器与试剂

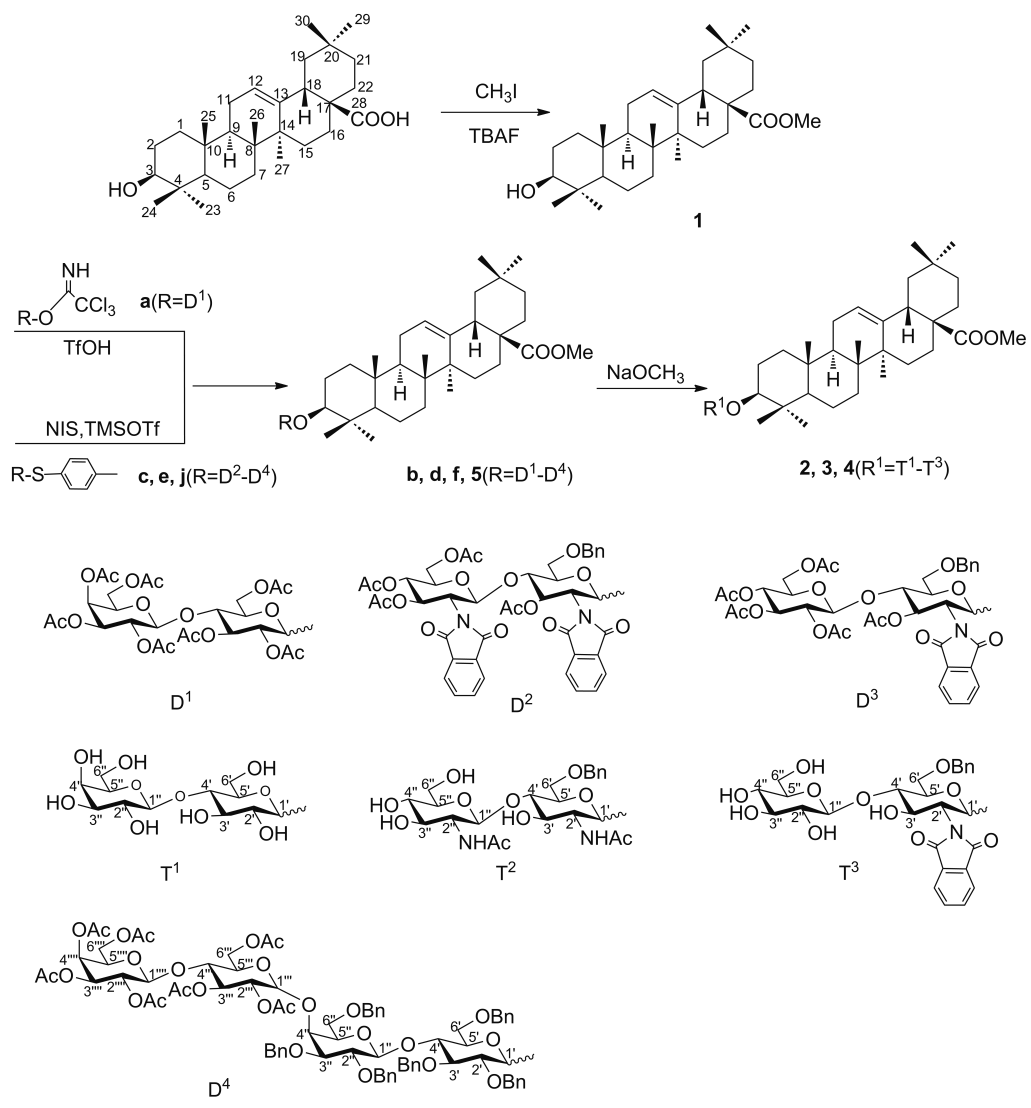
WFH-203B 型三用紫外分析仪;INOVA-400/500 MHz 型核磁共振仪( $\text{CDCl}_3$  为溶剂,TMS 为内标);FINNI ANLACQ-DECA 型质谱仪。

D-半乳糖、D-葡萄糖、D-氨基葡萄糖、 $\alpha$ -乳糖,国药集团化学试剂有限公司;齐墩果酸对照品,纯度 $\geq 99\%$ ,南京源植生物科技有限公司;2,3,4,6-四-O-乙酰基- $\beta$ -D-吡喃半乳糖基-(1→4)-2,3,6-三-O-乙酰基-D-吡喃葡萄糖三氯乙酰亚胺酸酯(a),对甲基-苯基-S-(2-去氧-2-邻苯二甲酰亚胺基-3,4,6-三-O-乙酰基- $\beta$ -D-吡喃葡萄糖基)-(1→4)-6-O-苄基-2-去氧-2-邻苯二甲酰亚胺基-3-O-乙酰基- $\beta$ -D-吡喃葡萄糖苷(c),对甲基-苯基-S-(2,3,4,6-四-O-乙酰基- $\beta$ -D-吡喃半乳糖基)-(1→4)-6-O-苄基-3-O-乙酰基-2-去氧-2-邻苯二甲酰亚胺基- $\beta$ -D-吡喃葡萄糖苷(e),对甲基-苯基-S-[ (2,3,4,6-四-O-乙酰基-D-半乳糖基)-(1→4)-2,3,6-三-O-乙酰基-D-葡萄糖基-(1→4)-2,6-二-O-苄基-D-半乳糖基]-(1→4)-2,3,6-三-O-苄基-D-葡萄糖苷(j);其余所用试剂均为分析纯。

### 1.2 合成

#### (1) 1 的合成<sup>[12]</sup>

称取 OA 1.0 g 加入 500 mL 圆底烧瓶中,加入 MeI 2 mL,四丁基氟化铵(TBAF)500 mg,5%  $\text{NaHCO}_3$  溶液 80 mL 和 DCM 40 mL,通入氮气,搅拌下反应 4 h(TLC 检测,展开剂: $A = \text{Cy/EtOAc} = 3/2, V/V$ )。用 DCM/H<sub>2</sub>O 萃取,有机相用无水  $\text{MgSO}_4$  干燥,过滤,收集滤液,浓缩,残余物经硅胶柱层析(洗脱剂: $A = 1/1$ )纯化得白色固体粉末 1 1.03 mg,收率 98.6%,m. p. 156~158 °C;<sup>1</sup>H NMR( $\text{CDCl}_3$ , 400 MHz)  $\delta$ : 5.28(m, 1H, 12-H), 3.63(s, 3H,  $\text{OCH}_3$ ), 3.21(m, 1H, 3-H), 2.86(dd,  $J = 14.0$  Hz, 4.8 Hz, 1H, 18-H), 1.97(s, H, 11-H), 1.75(m, 2H, 22-H), 1.65(m, 2H, 16-H), 1.59(m, 2H, 2-H),



Scheme 1

1.48(s, H, 9-H), 1.40(m, 2H, 6-H), 1.39(m, 6H, 1, 5, 7-H), 1.36(m, 4H, 19, 21-H), 1.25(m, 2H, 15-H), 1.12(s, 3H, 27-H), 0.99(s, 3H, 26-H), 0.96(s, 3H, 30-H), 0.93(s, 3H, 23-H), 0.90(s, 3H, 24-H), 0.77(s, 3H, 29-H), 0.72(s, 3H, 25-H); <sup>13</sup>C NMR (CDCl<sub>3</sub>, 400 MHz) δ: 178.3(C<sup>28</sup>), 143.7(C<sup>13</sup>), 122.3(C<sup>12</sup>), 79.0(C<sup>3</sup>), 55.2(OMe), 51.5(C<sup>9</sup>), 47.6(C<sup>5</sup>), 46.7(C<sup>17</sup>), 45.8(C<sup>19</sup>), 41.6(C<sup>4</sup>), 41.3(C<sup>14</sup>), 39.2(C<sup>18</sup>), 38.7(C<sup>8</sup>), 37.0(C<sup>10</sup>), 33.8(C<sup>21</sup>), 33.1(C<sup>29</sup>), 32.6(C<sup>22</sup>), 32.3(C<sup>7</sup>), 30.6(C<sup>20</sup>), 28.1(C<sup>15</sup>), 26.9(C<sup>27</sup>), 25.9(C<sup>2</sup>), 23.6(C<sup>11</sup>), 23.3(C<sup>30</sup>), 23.0(C<sup>16</sup>), 17.7(C<sup>6</sup>), 18.3(C<sup>26</sup>), 16.8(C<sup>25</sup>), 15.6(C<sup>23</sup>), 15.2(C<sup>24</sup>); MS (ESI) m/z: 493.2 {[M + Na]<sup>+</sup>}.

## (2) **2** 的合成

称取化合物 **a** 198 mg (0.25 mmol) 和 **1** 100 mg (0.21 mmol) 加入 50 mL 干燥圆底烧瓶中, 加入 4 Å 分子筛 100 mg, 抽真空, 通入氮气, 加入无水 DCM 约 7 mL, 搅拌使其充分溶解; 将反应体系置于冰盐浴条件下搅拌, 平衡 10 min 后加入 BF<sub>3</sub> · Et<sub>2</sub>O 18 μL, 反应至终点 (TLC 检测, 展开剂: A = 5/4)。加入几滴 TEA 终止反应, 用 DCM/H<sub>2</sub>O 萃取, 有机相用无水 MgSO<sub>4</sub> 干燥, 过滤, 收集滤液, 减压蒸除溶剂, 残余物经硅胶柱层析 (洗脱剂为 Cy/EtOAc = 3/1) 纯化, 浓缩得化合物 **b** 45 mg, 收率 20.3%。

称取化合物 **b** 26 mg (0.05 mmol) 加入 50 mL 圆底烧瓶中, 加入 MeOH 约 4 mL, 搅拌使其溶解; 缓慢加入新制 MeONa 溶液, 调 pH 至 12 ~ 13, 搅

拌下反应至终点(TLC 检测, 展开剂 A = 1/2)。加入阳离子交换树脂调 pH 至弱酸性, 滤去树脂, 减压浓缩除去甲醇, 真空干燥得粗产物, 用 HL-20 凝胶柱纯化(洗脱剂: MeOH)纯化, 浓缩得白色粉末齐墩果酸-28-羧甲酯-3-O-( $\beta$ -D-吡喃半乳糖基)-(1→4) $\beta$ -D-吡喃葡萄糖(2) 20 mg, 收率 94.1%, m. p. 24 ~ 248 °C;  $^1$ H NMR (CD<sub>3</sub>OD, 500 Hz)  $\delta$ : 5.23(brt, J = 3.4 Hz, 1H, 12-H), 4.36(d, J = 7.6 Hz, 1H, 1"-H Lac), 4.28(d, J = 7.9 Hz, 1H, 1'-H Lac), 3.89(dd, J = 11.9 Hz, 2.5 Hz, 1H, 6"-H Lac), 3.82(s, 1H, 2"-H Lac), 3.76(dd, J = 11.5 Hz, 3.9 Hz, 1H, 6"-H Lac), 3.75(s, 3H, 5"-H Lac, 3"-H Lac), 3.68(s, 1H, 4"-H Lac), 3.60(s, 3H, OCH<sub>3</sub>), 3.58(m, 2H, 3'-H Lac), 3.57(dd, J = 11.9 Hz, 3.3 Hz, 1H, 3-H), 3.53(dd, J = 7.6 Hz, 2.1 Hz, 1H, 5'-H Lac), 3.47(t, J = 9.7 Hz, 1H, 6'-H Lac), 3.38(m, J = 9.4 Hz, 1H, 4'-H Lac), 3.27(t, J = 8.9 Hz, 1H, 2'-H Lac), 2.85(dd, J = 13.7 Hz, 4.3 Hz, 1H, 18-H), 2.06(s, 2H, 11-H), 1.86(s, 2H, 22-H), 1.61(s, 2H, 16-H), 1.59(s, 2H, 2-H), 1.48(s, 2H, 9-H), 1.40(s, 2H, 6-H), 1.36(s, 2H, 5-H), 1.32(s, 8H, 21-H, 19-H, 1-H, 7-H), 1.13(s, 3H, 27-H), 0.95(s, 3H, 30-H), 0.90(s, 6H, 29-H, 23-H), 0.72(s, 3H, 26-H), 0.69(s, 3H, 24-H);  $^{13}$ C NMR (CD<sub>3</sub>OD, 400 MHz)  $\delta$ : 180.0(C<sup>28</sup>), 144.9(C<sup>13</sup>), 123.9(C<sup>12</sup>), 106.6(C<sup>1'</sup>Lac), 105.0(C<sup>3</sup>), 90.9(C<sup>5'</sup>Lac), 80.7(C<sup>5</sup>Lac), 77.0(C<sup>2'</sup>Lac), 76.5(C<sup>4'</sup>Lac), 76.2(C<sup>6'</sup>Lac), 75.7(C<sup>5'</sup>Lac), 75.4(C<sup>3'</sup>Lac), 74.7(C<sup>2'</sup>Lac), 73.5(C<sup>4''</sup>Lac), 72.5(C<sup>6''</sup>Lac), 57.0(OMe), 52.2(C<sup>9</sup>), 49.5(C<sup>5</sup>), 48.1(C<sup>17</sup>), 47.0(C<sup>19</sup>), 42.8(C<sup>4</sup>), 40.6(C<sup>14</sup>), 40.1(C<sup>18</sup>), 39.7(C<sup>8</sup>), 37.8(C<sup>1</sup>), 36.4(C<sup>10</sup>), 34.7(C<sup>21</sup>), 33.9(C<sup>29</sup>), 33.7(C<sup>22</sup>), 33.5(C<sup>7</sup>), 31.7(C<sup>20</sup>), 27.2(C<sup>15</sup>), 26.9(C<sup>27</sup>), 25.9(C<sup>2</sup>), 24.5(C<sup>11</sup>), 24.2(C<sup>30</sup>), 23.9(C<sup>16</sup>), 18.9(C<sup>6</sup>), 17.6(C<sup>26</sup>), 17.2(C<sup>25</sup>), 16.9(C<sup>23</sup>), 15.9(C<sup>24</sup>); MS(ESI) m/z: 817.3{[M + Na]<sup>+</sup>}。

### (3) 3 的合成

称取 c 50 mg (0.05 mmol)、1 50 mg (0.10 mmol)、NIS 15 mg (0.08 mmol) 和 4 Å 分子筛 50 mg 加入 25 mL 干燥圆底烧瓶中, 抽真空, 通入氮

气, 加入适量 DCM, 搅拌使其溶解; 于 0 °C 平衡 10 min 后加入 TfOH 5  $\mu$ L (0.02 mmol), 搅拌下反应 1 h (TLC 检测, 展开剂: A = 1/1)。加入饱和 NaHCO<sub>3</sub> 和 饱和 Na<sub>2</sub>S<sub>2</sub>O<sub>3</sub> 淬灭反应, 用 DCM/H<sub>2</sub>O 萃取, 有机相层用无水 MgSO<sub>4</sub> 干燥, 过滤, 收集滤液, 减压蒸除溶剂, 残余物经硅胶柱层析(洗脱剂: A = 2/1)纯化得白色固体 d 22 mg, 收率 32.0%。

称取 d 10 mg (0.04 mmol) 加入 25 mL 圆底烧瓶中, 加入 Ac<sub>2</sub>O 2 mL (0.02 mol) 和 MeOH 2 mL, 通入氮气, 搅拌下反应 24 h (TLC 检测, 展开剂: B = DCM/MeOH = 8/1, V/V)。加入适量 Tol, 减压蒸除溶剂, 残余物用 MeOH 溶解, 过滤, 收集滤液, 减压蒸除溶剂, 残余物经硅胶柱层析(洗脱剂: B)纯化, 再用 HL-20(洗脱剂: MeOH)纯化得白色固体齐墩果酸-28-羧甲酯-3-O-(2-去氧-2-N-乙酰基- $\beta$ -D-吡喃葡萄糖基)-(1→4)-6-O-苄基-2-去氧-2-N-乙酰基- $\beta$ -D-吡喃葡萄糖基(3) 8 mg, 收率 74.2%, m. p. 293 ~ 296 °C;  $^1$ H NMR (CD<sub>3</sub>OD, 400 MHz)  $\delta$ : 7.25 ~ 7.35(m, 5H, Ar-H), 5.48(d, J = 8.2 Hz, 1H, 1-H Glu), 5.25(brt, J = 2.8 Hz, 1H, 12-H), 4.87(m, 1H, 3-H), 3.41 ~ 4.45(m, 15H, Bn-CH<sub>2</sub>, Glu-H, Gal-H), 3.60(s, 3H, OCH<sub>3</sub>), 3.31(s, 6H, NCH<sub>3</sub>), 3.07(d, J = 9.4 Hz, 1H, 23-H), 2.85(dd, J = 14.0 Hz, 4.8 Hz, 1H, 18-H), 2.04(s, 2H, 11-H), 1.79(s, 2H, 22-H), 1.68(s, 2H, 2-H), 1.60(s, 2H, 16-H), 1.52(s, 2H, 6-H), 1.36(s, 4H, 7-H, 1-H), 1.30 ~ 1.34(s, 5H, 5-H, 19-H, 21-H), 1.14(s, 3H, 27-H), 0.94(s, 3H, 26-H), 0.93(s, 3H, 30-H), 0.92(s, 3H, 24-H), 0.90(s, 3H, 24-H), 0.76(s, 3H, 29-H), 0.73(s, 3H, 25-H);  $^{13}$ C NMR (CD<sub>3</sub>OD, 400 MHz)  $\delta$ : 179.4(C<sup>28</sup>), 171.6(2C, NHCOCH<sub>3</sub>), 150.8(C<sup>13</sup>), 137.2(C<sup>1</sup>Ar), 128.6 ~ 129.4(5C, C<sup>2~6</sup>Ar), 125.9(C<sup>12</sup>), 106.7(C<sup>1</sup>Glu-N), 105.6(C<sup>1</sup>Glu-N'), 79.6(Bn-CH<sub>2</sub>), 78.72(C<sup>3</sup>), 75.83(C<sup>2''</sup>), 74.14(C<sup>3'</sup>), 73.02(C<sup>3''</sup>), 72.66(C<sup>3'''</sup>), 72.10(C<sup>4'</sup>), 70.26(C<sup>4''</sup>), 67.55(C<sup>6''</sup>), 56.38(C<sup>23</sup>), 52.75(C<sup>5'</sup>), 51.76(C<sup>5''</sup>), 50.04(OMe), 49.3(C<sup>5</sup>), 48.9(C<sup>17</sup>), 45.4(C<sup>14</sup>), 40.8(C<sup>19</sup>), 37.7(C<sup>4</sup>), 35.6(C<sup>2</sup>), 34.4(C<sup>21</sup>), 32.4(C<sup>18</sup>), 31.2(C<sup>15</sup>), 30.0(C<sup>30</sup>, C<sup>29</sup>), 29.9(C<sup>7</sup>), 29.5(C<sup>16</sup>), 26.5(C<sup>22</sup>), 26.3(C<sup>11</sup>), 25.6(C<sup>27</sup>), 24.8

(C<sup>20</sup>) , 20.9(2C, NHCOCH<sub>3</sub>) , 18.6(C<sup>6</sup>) , 17.3(C<sup>24</sup>) , 16.8(C<sup>26</sup>) ; MS(ESI) *m/z*: 905.3 {[M + Na]<sup>+</sup>}。

#### (4) 4 的合成

称取化合物 e 150 mg(0.17 mmol) 和 1 150 mg(0.31 mmol) 加入 50 mL 干燥圆底烧瓶中, 加入 NIS 60 mg 和 4 Å 分子筛 100 mg, 抽真空, 通入氮气, 加入无水 DCM 约 8 mL, 搅拌使其充分溶解; 冰盐浴冷却, 平衡 10 min 后加入 TfOH 8 μL(0.02 mmol), 反应至终点(TLC 检测, 展开剂: A = 3/2)。加入饱和 NaS<sub>2</sub>O<sub>3</sub> 溶液中和过量 NIS, 反应体系由红色变为无色, 再加入饱和 NaHCO<sub>3</sub> 溶液中和过量 TfOH, 用 DCM/H<sub>2</sub>O 萃取, 有机相用无水 MgSO<sub>4</sub> 干燥, 过滤, 收集滤液, 减压蒸除溶剂, 残余物经硅胶柱层析(洗脱剂: A = 3/1)纯化, 浓缩得化合物 f 130 mg, 收率 62.5%。

将 f 置于干燥圆底烧瓶中, 加入 Ac<sub>2</sub>O 2 mL(0.02 mol) 和 MeOH 2 mL, 通入氮气, 搅拌下反应 24 h(TLC 检测, 展开剂: B = 10/1)。加入适量 Tol, 减压蒸除溶剂, 残余物用 MeOH 溶解, 过滤, 收集滤液, 减压蒸除溶剂, 粗品经硅胶柱层析(洗脱剂: B = 8/1)纯化, 再用 HL-20(洗脱剂: MeOH) 纯化得白色固体齐墩果酸-28-羧甲酯-3-O-(β-D-吡喃葡萄糖基)-(1→4)-6-O-苄基-2-去氧-2-乙酰氨基-β-D-吡喃葡萄糖基(4)25 mg, 收率 68%, m.p. 274~277 °C; <sup>1</sup>H NMR(CD<sub>3</sub>OD, 400 MHz) δ: 7.22~7.25(m, 5H, Ar-H), 5.43(d, *J* = 8.2 Hz, 1H, 1-HGlu), 5.21(brt, *J* = 2.8 Hz, 1H, 12-H), 4.91(m, 1H, 3-H), 4.67(m, 2H, Bn-CH<sub>2</sub>), 4.66(s, 1H, 1"-H), 4.49(s, 1H, 2'-H), 4.24(s, 1H, 3'-H), 3.86(s, 1H, 2"-H), 3.77(s, 1H, 5"-H), 3.65(s, 1H, 5'-H), 3.50(s, 2H, 6"-H), 3.49~3.55(m, 3H, 3"-H, 4"-H, 4'-H), 3.53(s, 3H, OCH<sub>3</sub>), 3.32(s, 3H, NCH<sub>3</sub>), 2.92(d, *J* = 9.4 Hz, 1H, 23-H), 2.84(d, *J* = 14, 1H, 4.8 Hz, 18-H), 1.92(s, 2H, 22-H), 1.85(s, 2H, 22-H), 1.68(s, 2H, 16-H), 1.59(s, 2H, 2-H), 1.53(s, 1H, 9-H), 1.46(s, 2H, 6-H), 1.39(s, 1H, 5-H), 1.28(s, 8H, 1-H, 7-H, 19-H, 21-H), 1.14(s, 3H, 27-H), 0.96(s, 3H, 26-H), 0.92(s, 3H, 30-H), 0.90(s, 3H, 23-H), 0.89(s, 3H, 24-H), 0.69(s, 6H, 29-H, 25-H); MS(ESI) *m/z*: 948.5 {[M + Na]<sup>+</sup>}。

#### (5) 5 的合成

称取化合物 j 60 mg(0.08 mmol)、1 50 mg(0.10 mmol)、NIS 30 mg(0.12 mmol) 和 4 Å 分子筛 50 mg 加入 25 mL 干燥圆底烧瓶中, 抽真空, 通入氮气, 加入 DCM 溶解; 于 0 °C 冰浴平衡 10 min, 加入 TfOH 2 μL(0.02 mmol), 搅拌下反应 2 h(TLC 检测, 展开剂: A = 1/1)。加入饱和 NaHCO<sub>3</sub> 和饱和 Na<sub>2</sub>S<sub>2</sub>O<sub>3</sub> 泡灭反应, 用 DCM/H<sub>2</sub>O 萃取, 有机相用无水 MgSO<sub>4</sub> 干燥, 过滤, 收集滤液, 减压蒸除溶剂得粗品, 经硅胶柱层析(洗脱剂: A = 2/1)纯化得白色固体齐墩果酸-28-羧甲酯-3-O-[β-D-吡喃半乳糖基-(1→4)-β-D-吡喃葡萄糖基-(1→4)-2, 3, 6-三-O-苄基-β-D-吡喃葡萄糖基(5)20 mg, 收率 26.8%; m.p. 320~322 °C; <sup>1</sup>H NMR(CDCl<sub>3</sub>) δ: 7.15~7.23(m, 25H, Ar-H), 5.31(d, *J* = 8.3 Hz, 1H, 1-H Lac), 5.27(brt, *J* = 2.8 Hz, 1H, 12-H), 5.14(m, 1H, 3-H), 5.14(d, *J* = 7.8 Hz, 2H, 1"-H, 1"-H), 5.06(s, 1H, 3"-H), 4.99(s, 1H, 5"-H), 4.88(s, 1H, 2"-H), 4.75(s, 8H, Bn-CH<sub>2</sub>), 4.65(s, 1H, 4"-H), 4.51(s, 1H, 2"-H), 3.60(s, 1H, 3"-H, 3'-H), 4.43(s, 1H, 5"-H), 4.39(s, 1H, 3"-H), 4.35(s, 2H, 6"-H), 4.31(s, 2H, 6"-H), 4.24(s, 2H, 2"-H, 2'-H), 4.13(s, 2H, 6"-H, 6'-H), 4.04(s, 1H, 23-H), 3.79(s, 1H, 5'-H), 3.61(s, 3H, OCH<sub>3</sub>), 3.53(s, 1H, 5"-H), 3.50(s, 1H, 4"-H), 3.28(s, 1H, 4"-H), 3.26(s, 1H, 4'-H), 2.03(s, 24H, 8×OAc), 3.19(s, 1H, 3-H), 2.82(d, *J* = 14.8 Hz, 18-H), 1.80(s, 2H, 11-H), 1.68(s, 2H, 22-H), 1.62(s, 2H, 16-H), 1.58(s, 2H, 2-H), 1.40(s, 2H, 6-H), 1.37(s, 1H, 9-H), 1.35(s, 2H, 19-H), 1.32(s, 1H, 5-H), 1.26(s, 2H, 21-H), 1.25(s, 2H, 1-H), 1.24(s, 2H, 7-H), 1.17(s, 2H, 15-H), 1.16(s, 3H, 27-H), 0.97(s, 3H, 26-H), 0.93(s, 3H, 30-H), 0.90(s, 3H, 23-H), 0.87(s, 3H, 24-H), 0.72(s, 6H, H-29, H-25); <sup>13</sup>C NMR δ: 178(C<sup>28</sup>), 152.98(C<sup>13</sup>), 126.67~128.45(24C, Ar), 129.78(C<sup>12</sup>), 101.80(C<sup>1</sup>), 98.64(C<sup>1"</sup>), 97.76(C<sup>1"</sup>), 96.69(C<sup>1"</sup>), 80.16(C<sup>3</sup>), 78.00~78.10(4C, Bn-CH<sub>2</sub>), 77.05(C<sup>5'</sup>), 72.93(C<sup>5"</sup>), 75.36(C<sup>5'"</sup>), 74.18(C<sup>5'''</sup>),

72.00~72.10(4C, C<sup>3'''</sup>, C<sup>3''</sup>, C<sup>3'</sup>, C<sup>3'</sup>), 69.20~67.89(4C, C<sup>2'''</sup>, C<sup>2''</sup>, C<sup>2'</sup>, C<sup>2'</sup>), 67.20~67.89(2C, C<sup>6'''</sup>, C<sup>6''</sup>, C<sup>6'</sup>, C<sup>6'</sup>), 65.40~76.87(4C, C<sup>4'''</sup>, C<sup>4''</sup>, C<sup>4'</sup>, C<sup>4'</sup>), 56.38(OMe), 50.82(C<sup>23</sup>), 49.41(C<sup>5</sup>), 47.34(C<sup>9</sup>), 46.83(C<sup>17</sup>), 44.75(C<sup>14</sup>), 40.65(C<sup>19</sup>), 40.20(C<sup>8</sup>), 39.63(C<sup>21</sup>), 34.92(C<sup>4</sup>), 33.54(C<sup>15</sup>), 32.43(C<sup>18</sup>), 30.65(C<sup>10</sup>), 29.82(C<sup>1</sup>), 28.82(C<sup>30</sup>), 28.47(C<sup>29</sup>), 26.57(C<sup>2</sup>), 23.97(C<sup>11</sup>), 24.70(C<sup>22</sup>), 23.54(C<sup>20</sup>), 37.47(C<sup>7</sup>), 21.52(C<sup>27</sup>), 21.97(C<sup>25</sup>), 20.63(C<sup>16</sup>), 18.45(C<sup>6</sup>), 16.59(C<sup>26</sup>), 16.24(C<sup>24</sup>); MS(ESI) *m/z*: 1607.7{[M+Na]<sup>+</sup>}。

### 1.3 生物活性测试

取对数生长期的人结肠癌 HCT8 细胞,以  $3 \times 10^5$  个/mL 的细胞浓度,每孔按 100  $\mu\text{L}$  细胞悬液随机平行接种到 96 孔板内,孵育 24 h 后,接种药物。实验设置 4 组,包括空白对照组、正常对照组、阳性对照组、实验组;其中空白培养基对照组为 HCT8 培养基由 90% F~12 K 无血清培养液和 10% 胎牛血清现配而成,正常细胞组为正常培养细胞,以阿霉素为阳性对照组,实验组为化合物 **2~5**。在显微镜下观察细胞生长状态后,加入含有不同药物浓度(浓度分别为  $1 \times 10^{-3}$  mmol/L,  $1 \times 10^{-4}$  mmol/L,  $1 \times 10^{-5}$  mmol/L,  $1 \times 10^{-6}$  mmol/L)的新鲜培养基。每组 6 个复孔,分别孵育 24 h 后,每孔加入 10  $\mu\text{L}$  MTT 溶液(浓度为 5 mg/mL),在 5% CO<sub>2</sub> 的恒温孵育箱中继续孵育 4 h。吸去上清液,每孔加入 200  $\mu\text{L}$  DMSO 溶液,振荡 10 min。用酶标仪测定波长 570 nm 处的吸光度值,重复 3 次。

## 2 结果与讨论

### 2.1 合成

**2~5** 的合成采用了三氯乙酰亚胺酸酯和对甲苯硫基两种路线,其中亚胺脂合成法的收率较高,但亚胺脂基团容易失活,主要原因在于合成三氯乙酰亚胺酸酯时,1-位的半缩醛-OH 被 CNCl<sub>3</sub> 保护后,对质子酸较敏感,得到的产物稳定性差。

在实验当中,我们多次尝试脱去齐墩果酸 C-28-位上的甲基,如 20% NaOH、30% NaOH、50% NaOH 碱性条件,加热条件,均未成功。用不同浓度 KOH 和酯交换尝试,效果也不太理想。

### 2.2 抑制活性

表 1 为目标化合物对 HCT8 的体外抑制活性。由表 1 可见,齐墩果酸经 C-28 位甲酯化和 C-3 位连接二糖和四糖后得到的衍生物(**2~4**)在不同浓度下对 HCT8 均具有抑制活性。其中化合物**5** 在最高浓度  $1 \times 10^{-3}$  mmol/L 时,抑制率达到  $(98.96 \pm 0.10)\%$ 。

表 1 目标化合物对 HCT8 的体外抑制率

Table 1 Inhibitory rate of target compounds on HCT8 in vitro

化合物	浓度/mmol·L <sup>-1</sup>	抑制率/%
<b>2</b>	$1 \times 10^{-6}$	$33.01 \pm 6.02$
	$1 \times 10^{-5}$	$41.45 \pm 7.07$
	$1 \times 10^{-4}$	$51.12 \pm 0.75$
	$1 \times 10^{-3}$	$64.41 \pm 0.03$
<b>3</b>	$1 \times 10^{-6}$	$34.04 \pm 4.04$
	$1 \times 10^{-5}$	$48.80 \pm 3.79$
	$1 \times 10^{-4}$	$92.25 \pm 0.28$
	$1 \times 10^{-3}$	$96.91 \pm 0.12$
<b>4</b>	$1 \times 10^{-6}$	$38.61 \pm 6.36$
	$1 \times 10^{-5}$	$67.75 \pm 2.03$
	$1 \times 10^{-4}$	$73.46 \pm 0.47$
	$1 \times 10^{-3}$	$89.53 \pm 0.10$
<b>5</b>	$1 \times 10^{-6}$	$36.3 \pm 4.61$
	$1 \times 10^{-5}$	$48.7 \pm 2.53$
	$1 \times 10^{-4}$	$62.9 \pm 1.09$
	$1 \times 10^{-3}$	$98.26 \pm 0.10$
阿霉素	$1 \times 10^{-6}$	$75.19 \pm 0.29$
	$1 \times 10^{-5}$	$98.96 \pm 0.05$

### 3 结论

合成了 4 种新型的齐墩果酸糖苷化衍生物(**2~5**),并采用 MTT 法初步评价了化合物对人结肠癌细胞 HCT8 的体外抑制活性。虽然化合物的抑制活性略低于阿霉素,但也为今后齐墩果酸及其衍生药物的开发与应用提供借鉴。对于天然化合物中具有良好活性的化合物,但水溶性差的物质,可考虑用糖片段进行结构的修饰,解决水溶性差的难题。

### 参考文献

- [1] 廖忻,陈文莹,杨杰也,等.齐墩果酸的来源及护肾作用研究进展[J].安徽农学通报,2018,24(06):156~160.  
(LIAO X, CHEN W Y, YANG J Y, et al. Advances

- in the study of oleanolic acid origin and renal protection [J]. Anhui Agronomy Bulletin, 2018, **24**(06): 156 – 160.)
- [2] 周媛媛. 抗肿瘤中药青龙衣化学成分的研究 [J]. 中草药, 2010, **41**(1): 11 – 14.  
(ZHOU Y Y. Study on chemical constituents of antitumor Chinese medicine Azure Dragon coat [J]. Chinese Herbs, 2010, **41**(1): 11 – 14.)
- [3] 李雅玲, 冯威, 陈航宇, 等. 齐墩果酸药理作用研究 [J]. 生物技术世界, 2018, **24**(04): 125 – 127.  
(LI Y L, FENG W, CHEN H, et al. pharmacological action of oleanolic acid [J]. Biotechnology World, 2018, **24**(04): 125 – 127.)
- [4] ZENG Y B, HSIAO H M, CHAN S H, et al. Synthesis and anti-cancer activity of a glycosyl library of *N*-acetylglu-cosamine-bearing oleanolic acid [J]. Mold-ivers, 2014, **18**(1): 13 – 23.
- [5] MASTSUNAGA T, MORIKAWA Y, HAGA M, et al. EXPosure to 9, 10-Phenanthr renequinone accelerates malignant progression of lung cancer cells through up-regulation of aldo-ke-to reductase IB10 [J]. Toxicol Appi Pharmacol, 2014, **278**(2): 180 – 189.
- [6] 苏雨, 王海, 杨彬, 等. 齐墩果酸新对肝癌的抑制作用研究进展 [J]. 中国实验诊断学, 2019, **23**(08): 1470 – 1473.  
(SU Y, WANG H Z, YANG B, et al. Advances in inhibition of oleanolic acid on liver cancer [J]. Chinese Experimental Diagnostics, 2019, **23**(08): 1470 – 1473.)
- [7] 秦丽英. 熊果酸与齐墩果酸对 HepG2 细胞中 Nrf2-UGT2B7/BSEP/MRP2 调控通路的影响及其机制研究 [D]. 南昌:南昌大学, 2018.  
(QIN L Y. Effect of ursolic acid and oleanolic acid on Nrf2-UGT2B7/BSEP/MRP2 regulatory pathway in HepG2 cells and its mechanism [D]. Nanchang: Nanchang University, 2018.)
- [8] 魏振奇, 蔡文卓, 郑晓娟, 等. 齐墩果酸对  $\alpha$ -淀粉酶及脂肪酶的抑制作用 [J]. 吉林医药学院学报, 2017, **38**(02): 102 – 105.  
(WEI Z Q, CAI W Z, ZHENG X J, et al. inhibition of oleanolic acid on  $\alpha$ -amylase and lipase [J]. Journal of Jilin Institute of Medicine, 2017, **38**(02): 102 – 105.)
- [9] TANG S, GAO D, ZHAO T, et al. An evaluation of the anti-tumor efficacy of oleanolic acid-loaded PEGylated liposomes [J]. Nanotechnology, 2013, **24**(23): 235.
- [10] 王巍. 齐墩果酸苦基酯衍生物的合成与表征及其抗癌活性的研究 [D]. 济南:山东大学, 2019.  
(WANG W. synthesis and characterization of benzyl oleanate derivatives and their anticancer activity [D]. Jinan: Shandong University, 2019.)
- [11] 陈艳华, 侯熙彦, 支德福, 等. 齐墩果酸和熊果酸衍生物的合成、表征及抗癌活性的研究 [J]. 有机化学, 2016, **36**(04): 795 – 802.  
(CHEN Y H, HOU X Y, ZHI D F, et al. synthesis, characterization and anticancer activity of oleanolic acid and ursolic acid derivatives [J]. Organic Chemistry, 2016, **36**(04): 795 – 802.)
- [12] 唐初. 齐墩果酸的结构修饰与生物活性研究进展 [J]. 有机化学, 2013, **12**(33): 46 – 65.  
(TANG C. Progress in structural modification and bioactivity of oleanolic acid [J]. Organic Chemistry, 2013, **12**(33): 46 – 65.)
- [13] 王京, 郑诚月, 王杨, 等. 齐墩果酸衍生物的合成、抗癌活性及构效关系研究进展 [J]. 国外医药(抗生素分册), 2017, **38**(03): 118 – 124.  
(WANG J, ZHENG C Y, WANG Y, et al. The synthesis, anticancer activity and structure-activity relationship of oleanolic acid derivatives [J]. Foreign Medicine (Antibiotics Division), 2017, **38**(03): 118 – 124.)
- [14] YOSHIKAWA M, MATSUDA H, HARADA E, et al. Eelatosidee, a new hypoglycemic principle from the root cortex of Aralia elataseem: Structure-related hypoglycemic activity of olean-olic acid glycosides [J]. Chem Pharm Bull, 1994, **42**(6): 1354 – 1356.
- [15] 郑翠, 李琳, 庞浩, 等. 天然产物活性组分的糖基化修饰研究进展 [J]. 纤维素科学与技术, 2012, **20**(01): 62 – 71.  
(ZHENG C, LI L, PANG H, et al. Advances in glycosylation modification of active components of natural products [J]. Cellulose Science and Technology, 2012, **20**(01): 62 – 71.)
- [16] KIM H J, PARK H S, LEE I S. Microbial transformation of silybin by trichoderma koningii [J]. Bioorg MedChem Lett, 2006, **16**(4): 790 – 793.
- [17] HYE S M, KIM B G, KIM D H, et al. Production of flavonoid O-glucoside using sucrose synthase and flavonoid O-glucosyltransferase fusion protein [J]. Microbiol Biotechnol, 2009, **19**(7): 709 – 712.
- [18] 曾丽兰, 孙航宇, 洪开文, 等. 新型长春藤皂苷元糖缀合物的合成与体外抗肿瘤活性 [J]. 合成化学, 2018, **26**(4): 229 – 233.  
(ZENG L L, SUN H Y, HONG K W, et al. synthesis and *in vitro* antitumor activity of novel ivy saponin

- conjugates [ J ]. Chinese Journal of Synthetic Chemistry , 2018, **26**(4) :229 – 233. )
- [ 19 ] SHIMODA K, HANADA H, HAMADA H. Glycosylation of hesperetin by plant cell cultures [ J ]. Phytochemistry , 2008, **69**(5) :1135 – 1140.
- [ 20 ] 洪开文,贾宪生,杨贤江,等. 新型常春藤皂苷元衍生物的合成及其体外抗 HBV 活性 [ J ]. 合成化学 , 2017, **25**(1) :18 – 25.  
( HONG K W, JIA X S, YANG X J, et al. synthesis of novel ivy saponin derivatives and their anti-hbv activity *in vitro* [ J ]. Chinese Journal of Synthetic Chemistry , **25**(1) :18 – 25. )
- [ 21 ] 孙航宇,欧小洪,孙薛姣,等. 18- $\beta$ -甘草次酸衍生物的合成与体外抗 HBV 活性研究 [ J ]. 贵州科学 , 2016, **34**(04) :55 – 56.  
( SUN H Y, OU X H, SUN X J, et al. synthesis and *in vitro* anti-hbv activity of 18- $\beta$ -licorice subacid derivatives [ J ]. Guizhou Science , 2016, **34**(04) :55 – 56. )
- [ 22 ] 王欢,孙航宇,洪开文,等. 新型常春藤糖苷衍生物的合成及体外抗人膀胱癌细胞活性 [ J ]. 合成化学 , 2018, **26**(4) :240 – 244.  
( WANG H, SUN H Y, HONG K W, et al. synthesis of novel ivy glycoside derivatives and *in vitro* anti-human bladder cancer cell activity [ J ]. Chinese Journal of Synthetic Chemistry , 2018, **26**(04) :240 – 244. )